



El campo magnetostático

F II

**El experimento de Oersted. Ley de Ampere
Fuerza de Lorentz. Campo magnético**

Dinámica de partículas en campos magnéticos

El efecto Hall

Par sobre una espira. El dipolo magnético.

Materiales magnéticos. Imanación



Fuerzas magnéticas

F II

Experiencias con imanes

W. Gilbert (1600)

Experiencias con corrientes

H. Oersted y A. Ampere (1820)

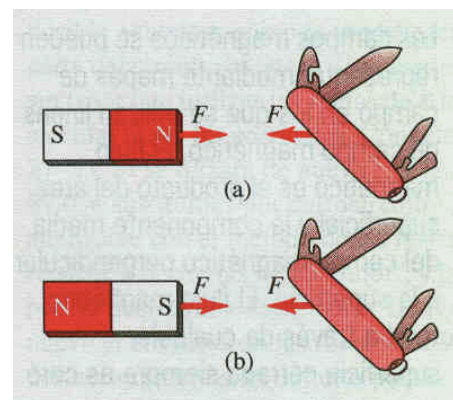
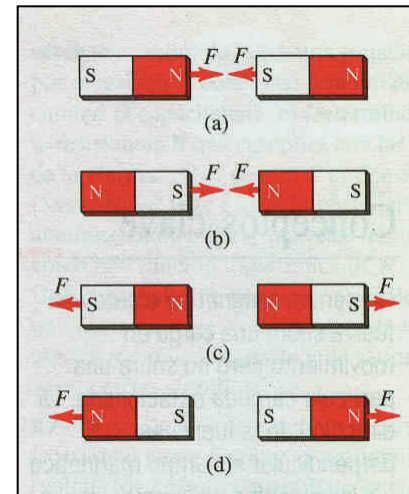
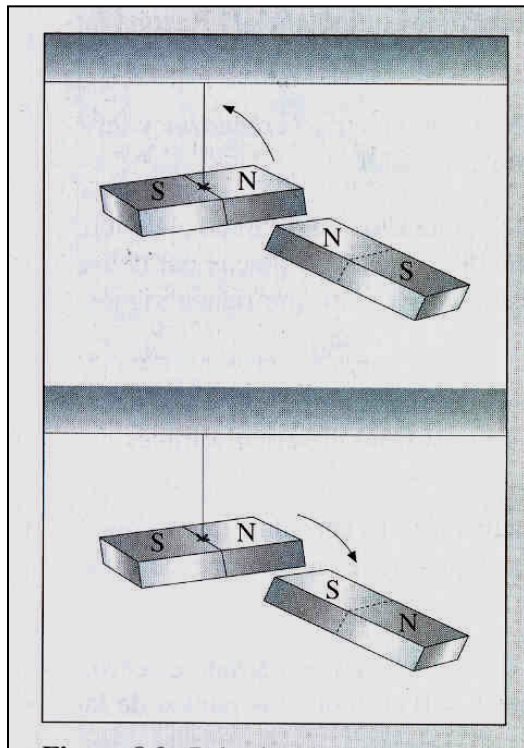
**Acción de un campo sobre partícula
cargada en movimiento**

H. Lorentz (1892-1904)



Experiencias con imanes

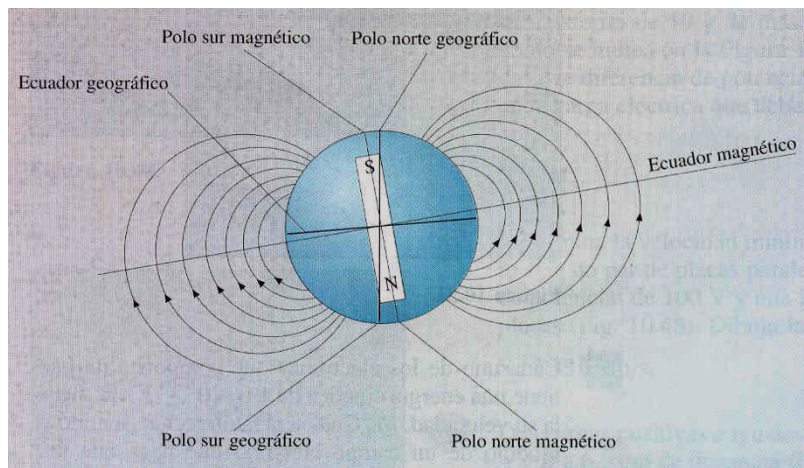
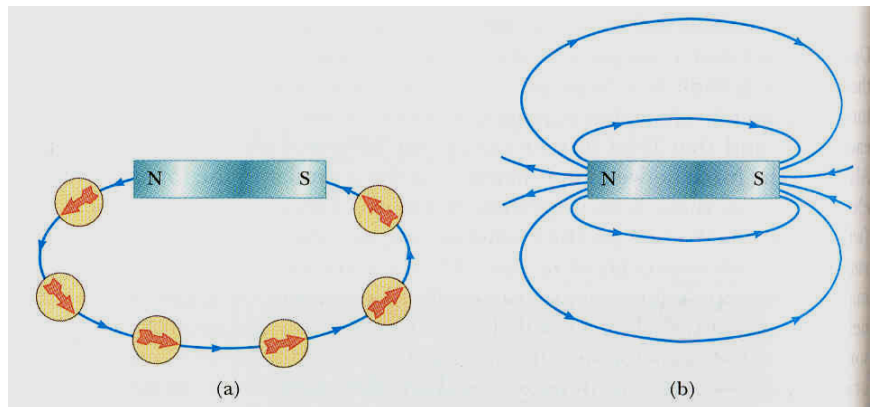
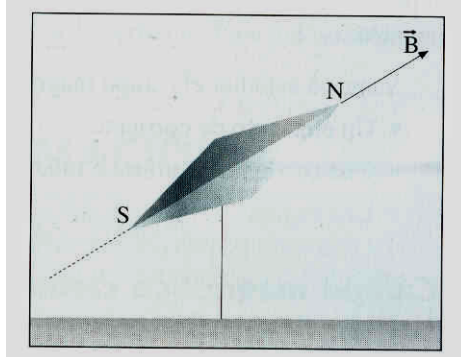
F II





Campo magnético terrestre

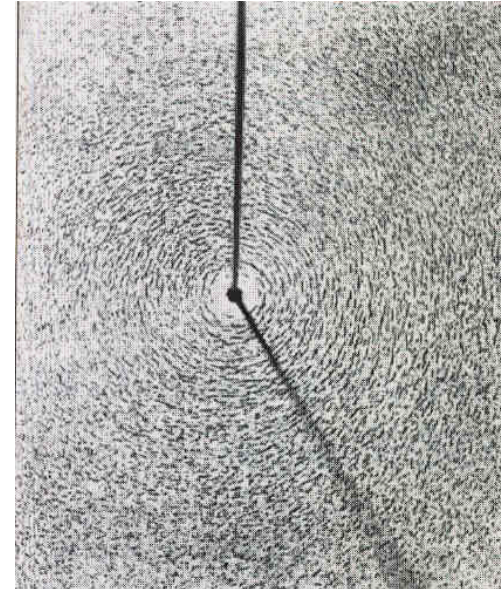
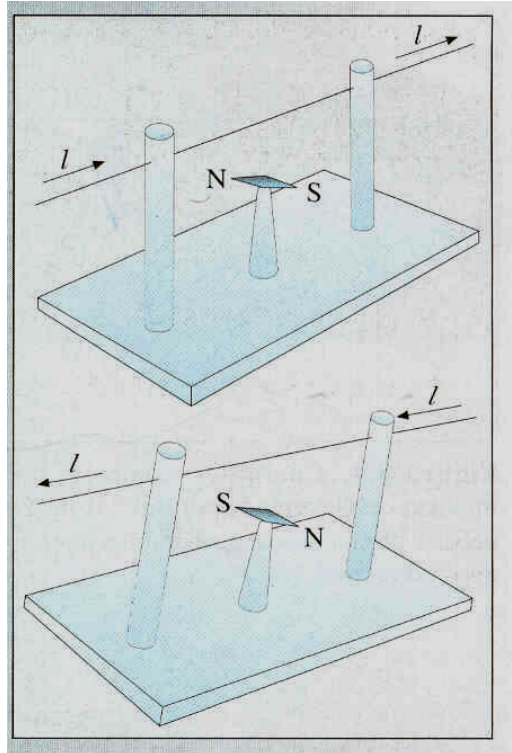
F II





Experiencias con corrientes

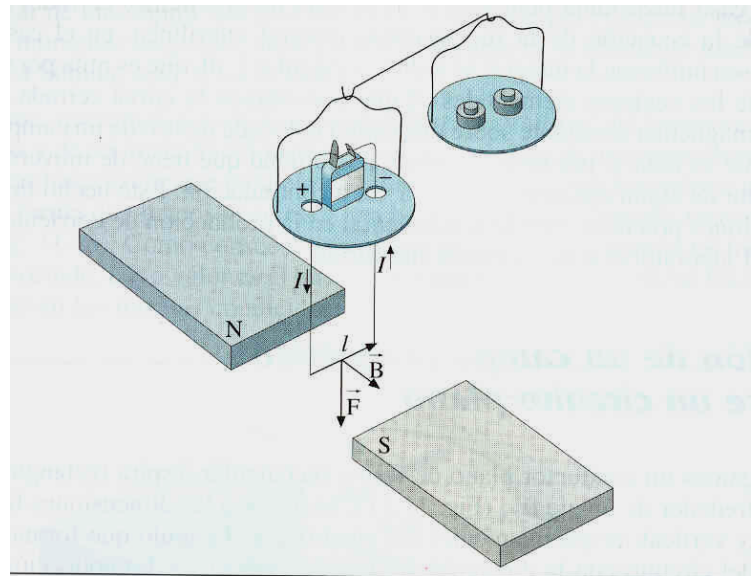
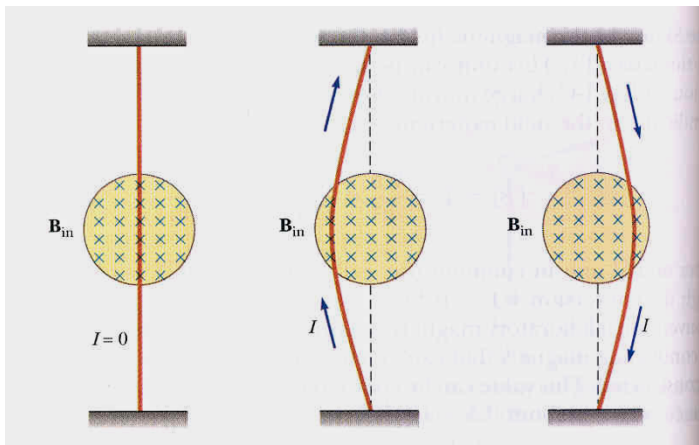
F II





Acción campo-corriente

F II

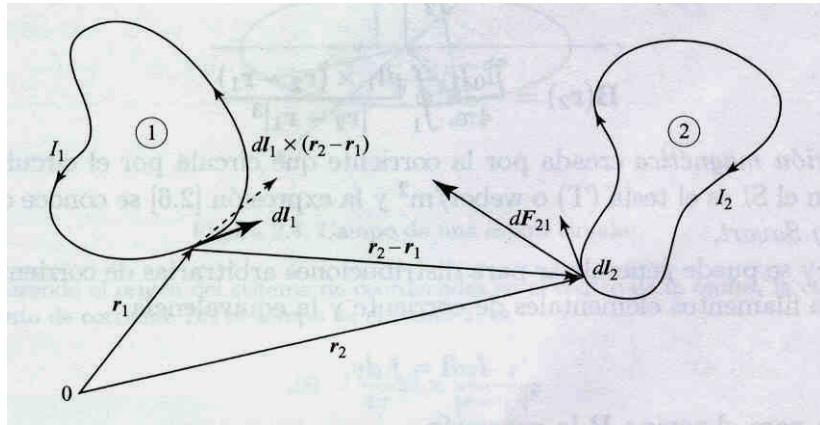




Ley de Ampère

Paralelismo con la ley de Coulomb

F II



$$\mathbf{F}_{2,1} = \frac{\mu_0 I_2 I_1}{4\pi} \iint_{C_2 C_1} \frac{d\mathbf{l}_2 \times [d\mathbf{l}_1 \times (\mathbf{r}_2 - \mathbf{r}_1)]}{|\mathbf{r}_2 - \mathbf{r}_1|^3}$$



Campo magnético. Ley de Biot-Savart

F II

Campo magnético

$$\mathbf{B}(\mathbf{r}) = \frac{\mu_0 I}{4\pi} \oint_C \frac{d\mathbf{l} \times (\mathbf{r} - \mathbf{r}')}{|\mathbf{r} - \mathbf{r}'|^3}$$



Fuerza de Lorentz y campo magnético

F II

Fuerza sobre carga q con velocidad v

$$\mathbf{F} = q(\mathbf{v} \times \mathbf{B})$$

Dificultad para determinar el campo

Imposibilidad transferir energía



Relación Ampère-Lorentz

F II

$$d\mathbf{F} = Id\mathbf{l} \times \mathbf{B}, \quad d\mathbf{F} = dq\mathbf{v} \times \mathbf{B}$$
$$Id\mathbf{l} = (\mathbf{j} \cdot da)d\mathbf{l} = nq\mathbf{v}d\tau = dq\mathbf{v}$$

$Id\mathbf{l}$

$$d\mathbf{B} = \frac{\mu_0 I}{4\pi} \frac{d\mathbf{l} \times (\mathbf{r} - \mathbf{r}')}{|\mathbf{r} - \mathbf{r}'|^3}$$

q, \mathbf{v}

$$\mathbf{B} = \frac{\mu_0 q}{4\pi} \frac{\mathbf{v} \times (\mathbf{r} - \mathbf{r}')}{|\mathbf{r} - \mathbf{r}'|^3}$$



Determinación de campos

F II

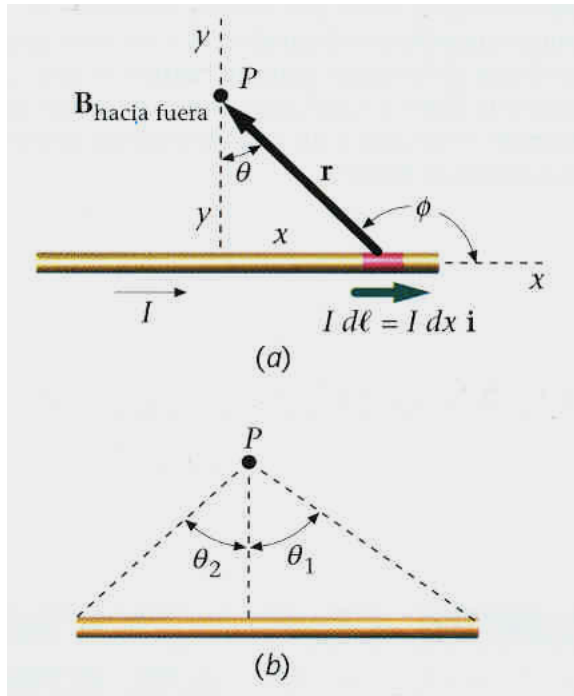
Línea indefinida

P. Superposición/T. Ampère



F II

Línea indefinida I



$$dB = \frac{\mu_0}{4\pi} \frac{Idx}{r^2} \sin \phi = \frac{\mu_0}{4\pi} \frac{Idx}{r^2} \cos \theta$$

$$B = \frac{\mu_0}{4\pi} \frac{I}{R} (\sin \theta_1 + \sin \theta_2)$$

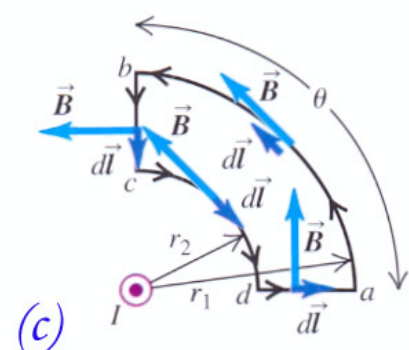
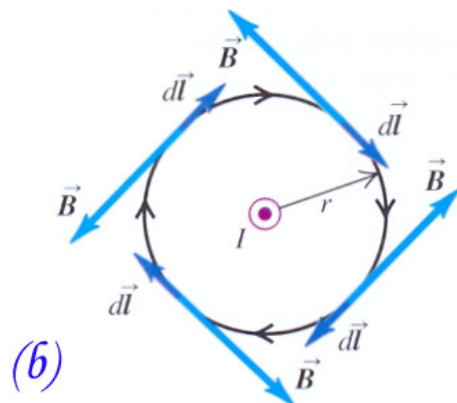
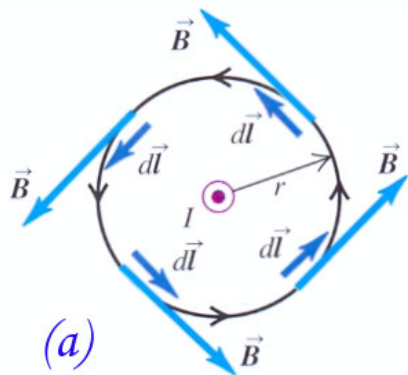
$$\mathbf{B} = \frac{\mu_0 I}{2\pi r} \mathbf{u}_\varphi$$



Teorema de Ampère

F II

$$\oint_C \mathbf{B} \cdot d\mathbf{l} = \mu_0 I$$

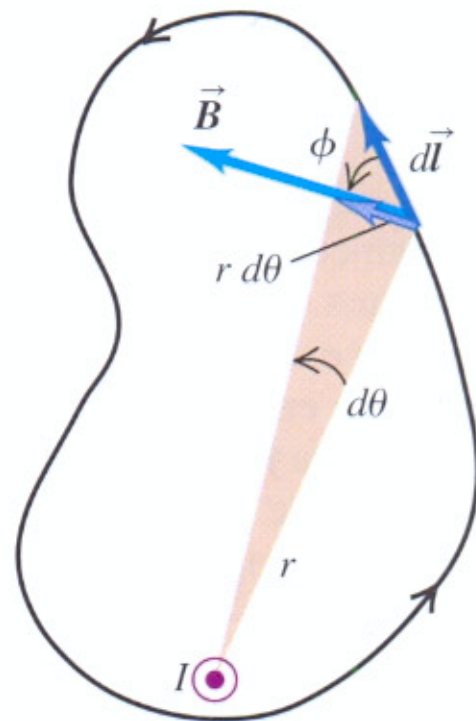




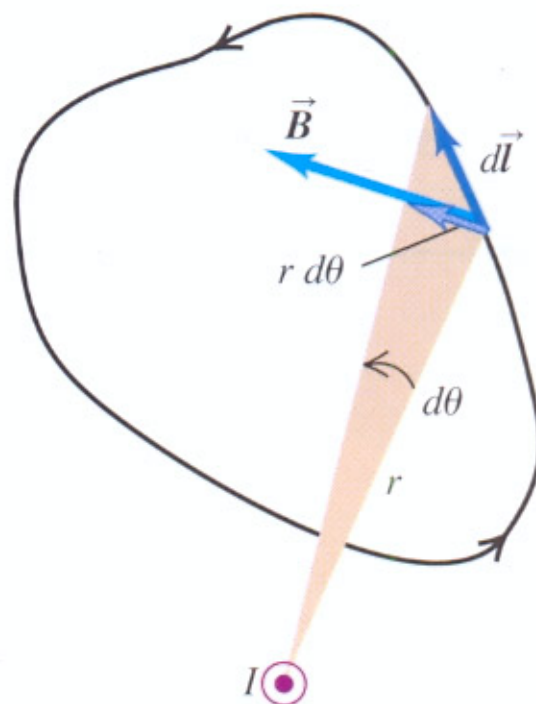
Teorema de Ampère

F II

a)



b)



$$\oint_C \mathbf{B} \cdot d\mathbf{l} = \mu_0 I$$

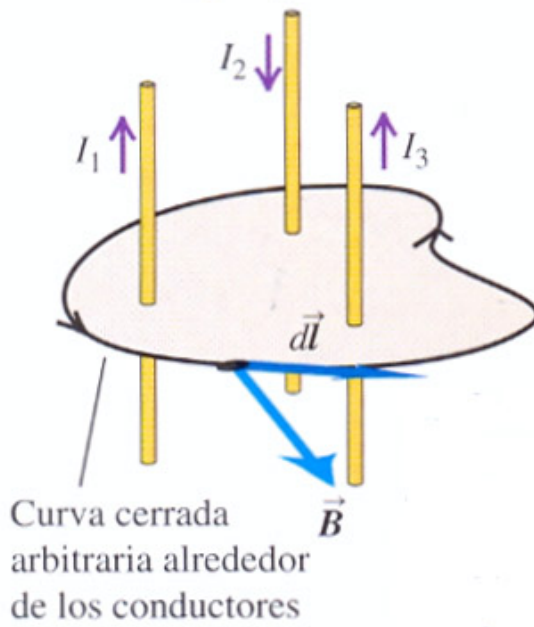
$$\oint_C \mathbf{B} \cdot d\mathbf{l} = 0$$



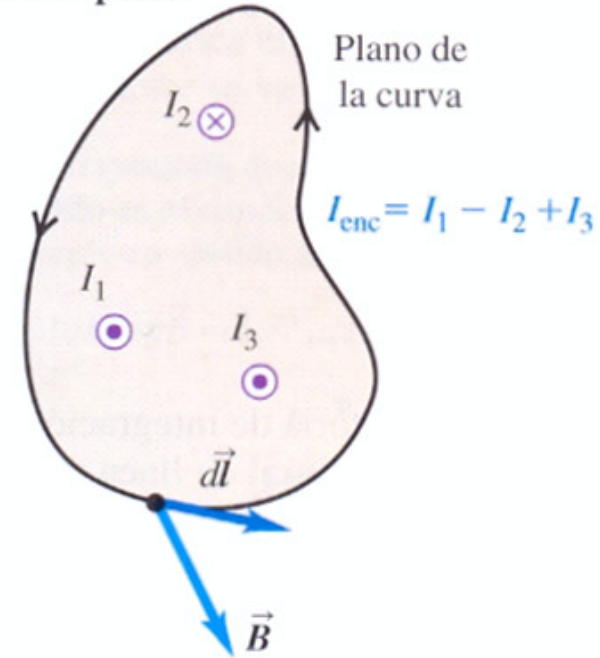
Teorema de Ampère

F II

Vista en perspectiva



Vista superior



$$\oint_C \mathbf{B} \cdot d\mathbf{l} = \mu_0 I$$



Teorema de Ampère

F II

Ley circuital (integral curvilínea)

Equivalencia con teorema Gauss

$$\oint_C \mathbf{B} \cdot d\mathbf{l} = \mu_0 I$$



Ecuaciones del campo magnético

F II

1^a Ecuación

Campo solenoidal

Inseparabilidad polos

$$\oint_S \mathbf{B} \cdot \mathbf{n} \, da = 0$$

2^a Ecuación

Ley circuital Ampère

$$\oint_C \mathbf{B} \cdot d\mathbf{l} = \mu_0 I$$



Determinación de campos

F II

Línea indefinida

Teorema de Ampère

Espira en eje

P. Superposición

Solenoide

P. Superposición/T. Ampère

Toroide

T.Ampère

Plano indefinido

P. Superposición/T. Ampère



Línea indefinida II

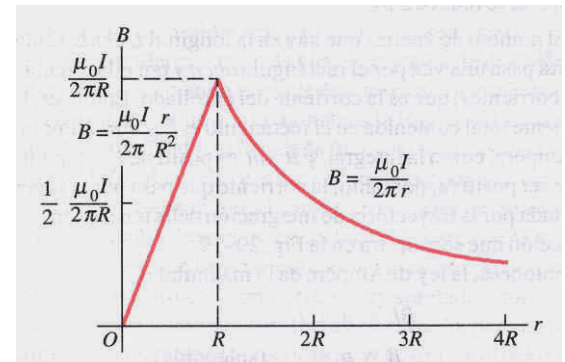
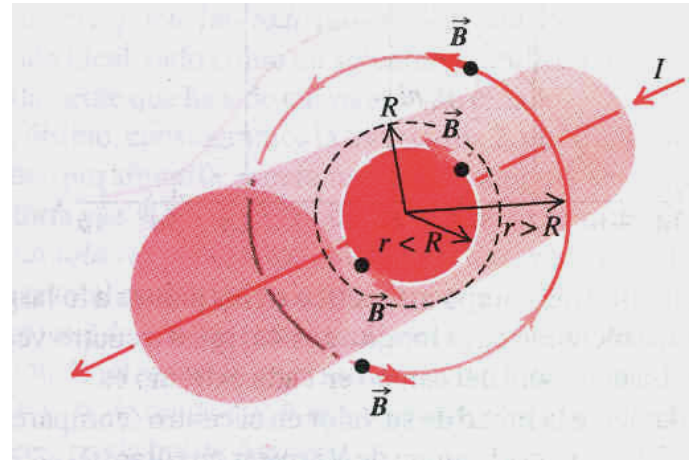
F II

Corriente I, radio R

$$r < R \quad 2\pi r B = \mu_0 \frac{I}{\pi R^2} \pi r^2, \quad \mathbf{B} = \frac{I}{2\pi R^2} r \mathbf{u}_\varphi$$

$r > R$

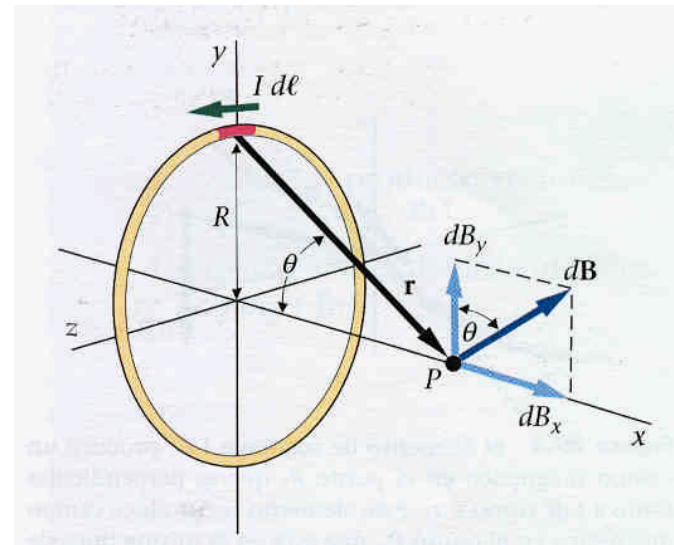
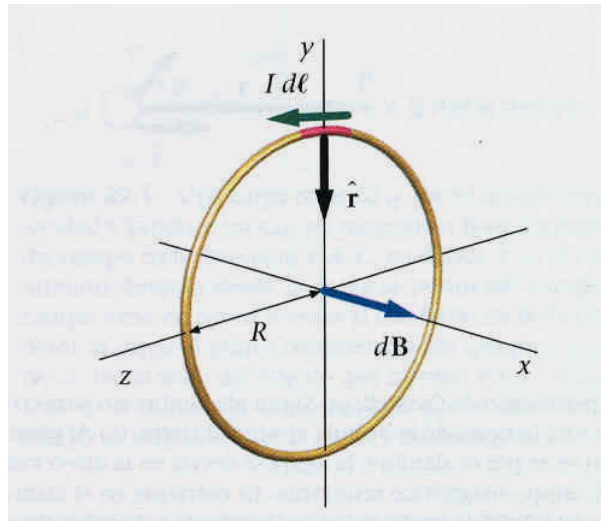
$$\mathbf{B} = \frac{\mu_0 I}{2\pi r} \mathbf{u}_\varphi$$





Espira de radio R

F II

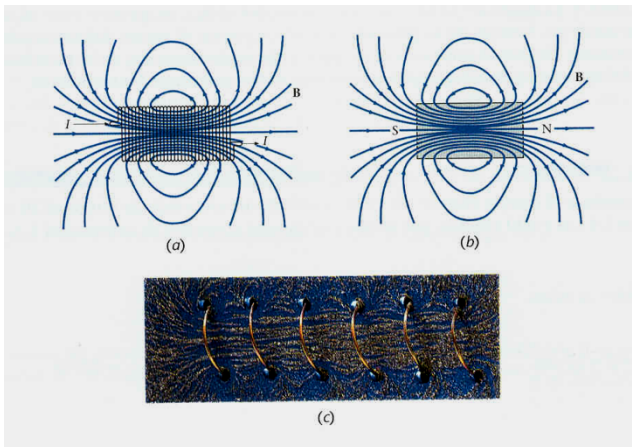
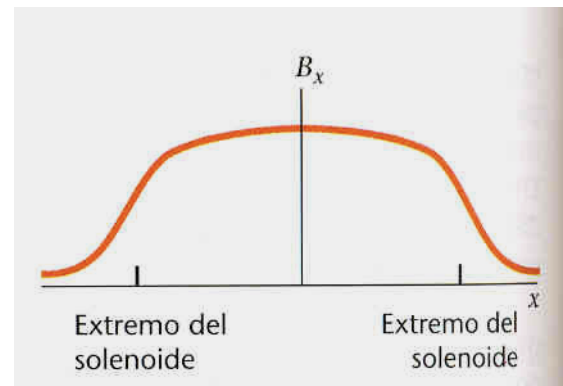
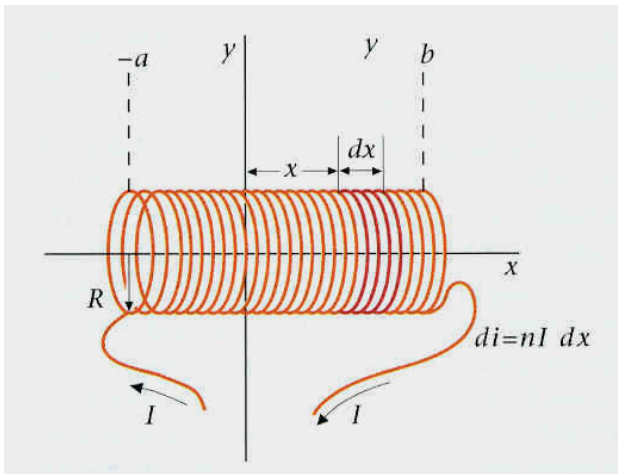


$$\mathbf{B} = \frac{\mu_0 I R^2}{2(x^2 + R^2)^{3/2}} \mathbf{u}_z$$



Solenoides

F II

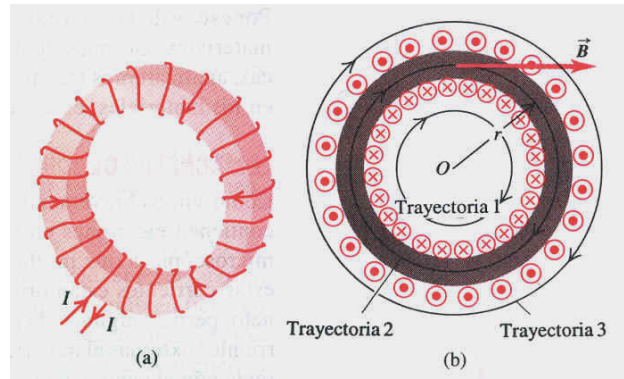


$$\mathbf{B} = \mu_0 n I \mathbf{u}_z$$

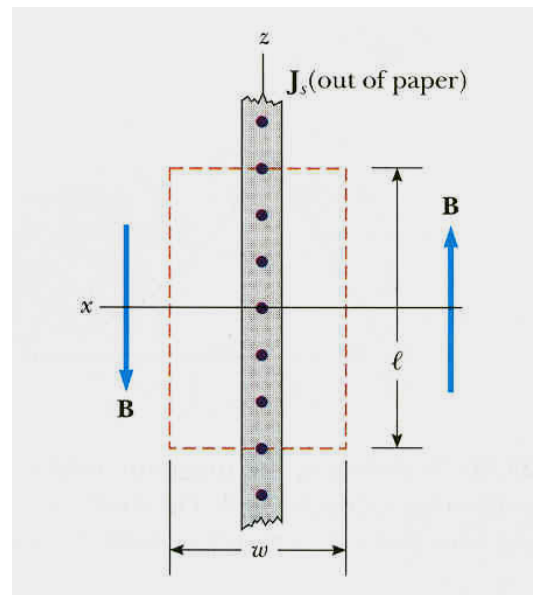


F II

Toroide



Plano indefinido



$$B = \frac{\mu_0 N I}{2\pi R}$$

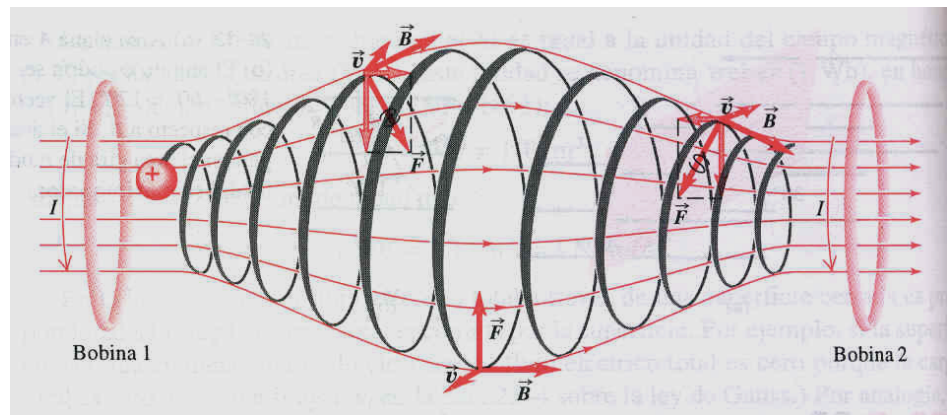
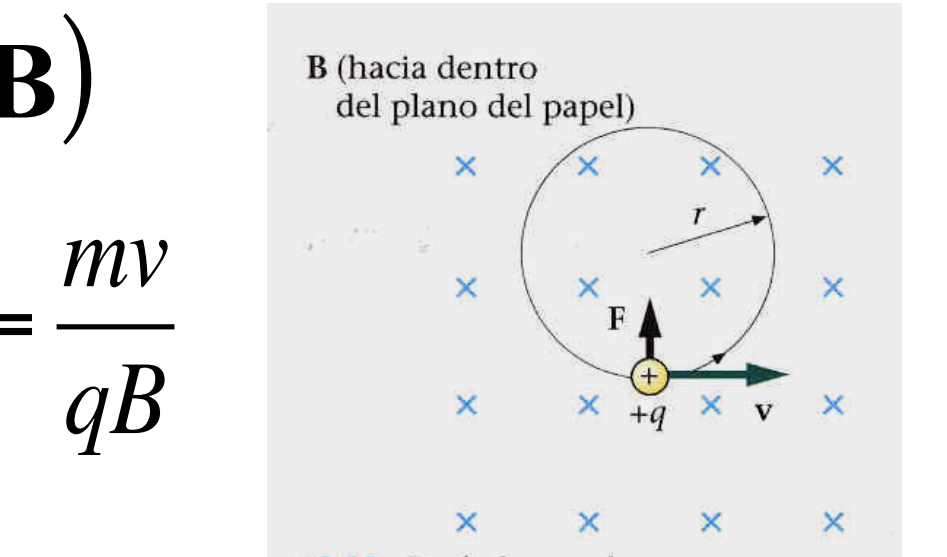
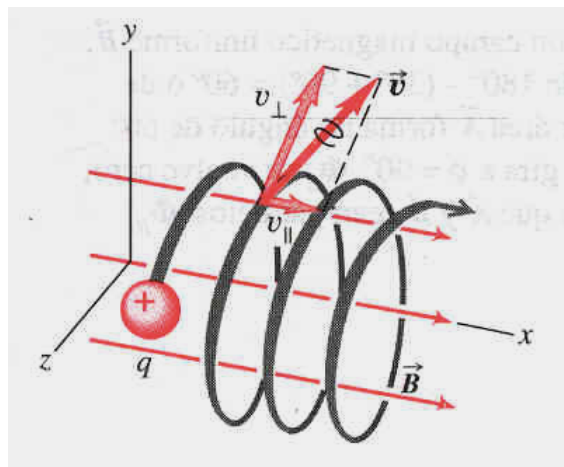
$$B = \frac{\mu_0 K}{2}$$



Dinámica de partículas en campos electromagnéticos

$$\text{F II} \quad \mathbf{F} = q(\mathbf{E} + \mathbf{v} \times \mathbf{B})$$

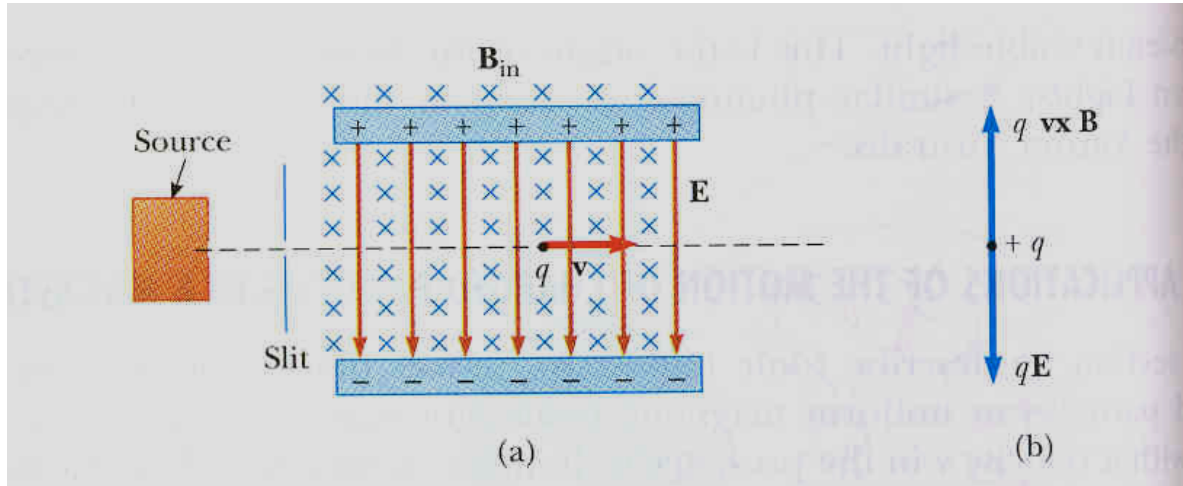
$$F = qvB = m \frac{v^2}{R} \Rightarrow R = \frac{mv}{qB}$$





Selector de velocidades

F II

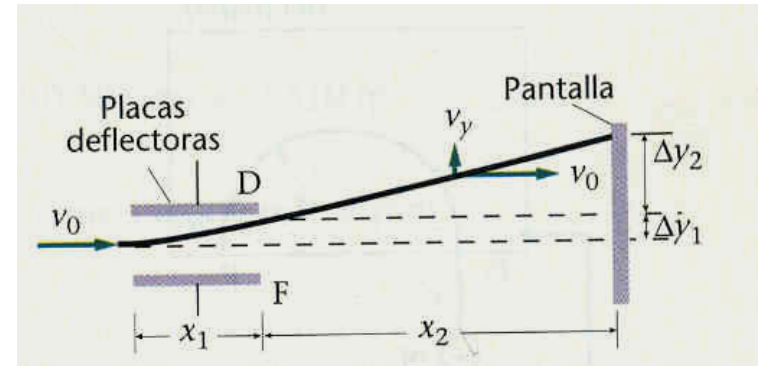
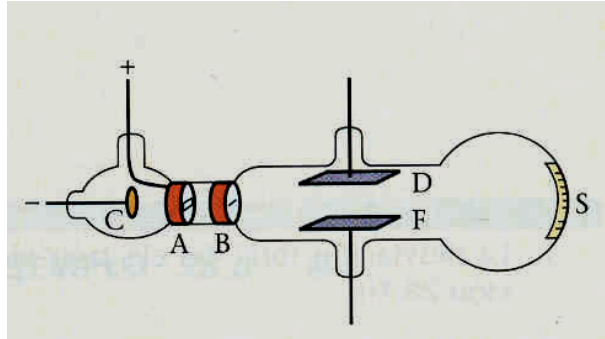


$$v = \frac{E}{B}$$



Relación q_e/m

F II



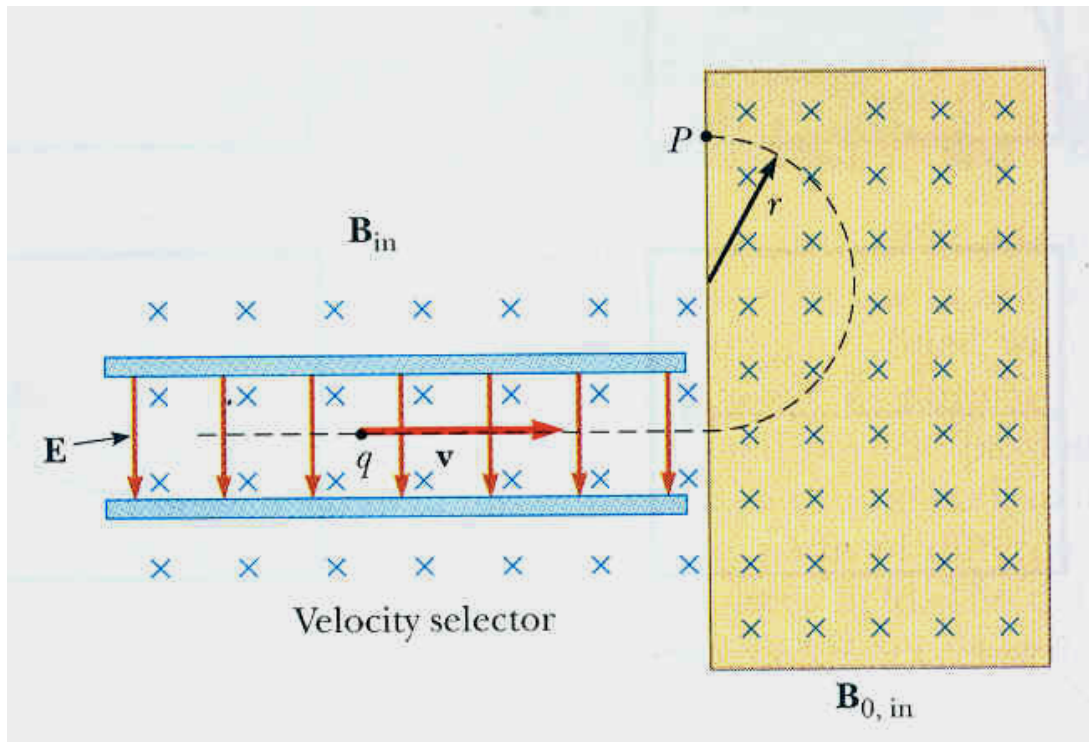
$$v_0, t_1 = \frac{x_1}{v_0}, v_y = at_1 = \frac{qE}{m} t_1 = \frac{qE}{m} \frac{x_1}{v_0}, \Delta y_1 = \frac{1}{2} at^2 = \frac{1}{2} \frac{qE}{m} \left(\frac{x_1}{v_0} \right)^2$$

$$t_2 = \frac{x_2}{v_0}, \Delta y_2 = v_y t_2 = \frac{qE}{m} \frac{x_1}{v_0} \frac{x_2}{v_0} \quad \Delta y = \Delta y_1 + \Delta y_2 = \frac{1}{2} \frac{qE}{m} + \frac{qE}{m} \frac{x_1 x_2}{v_0^2}$$



Espectrómetro de masas

F II

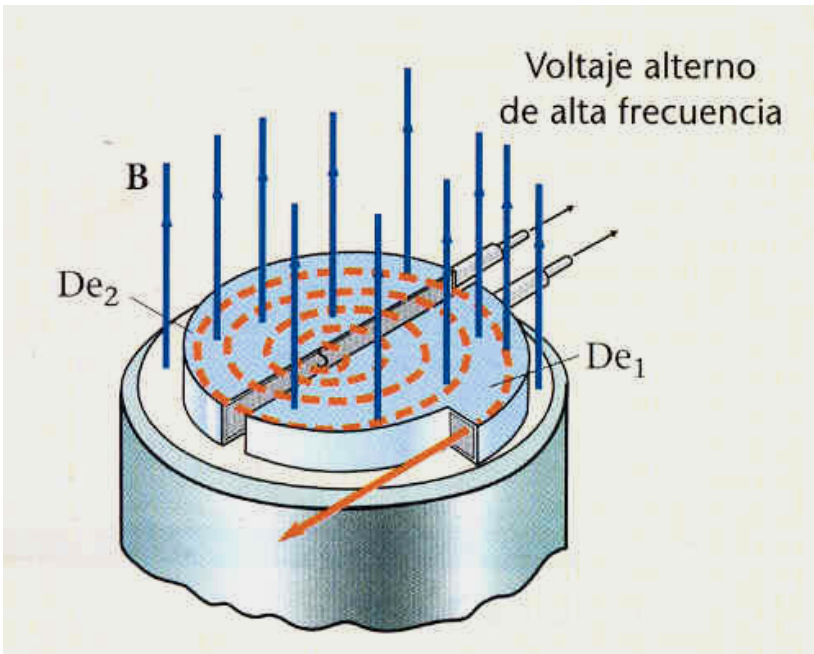


$$\frac{m}{q} = \frac{rB_0}{v} = \frac{rB_0B}{E}$$



El ciclotrón

F II



$$T = \frac{2\pi m}{qB}$$

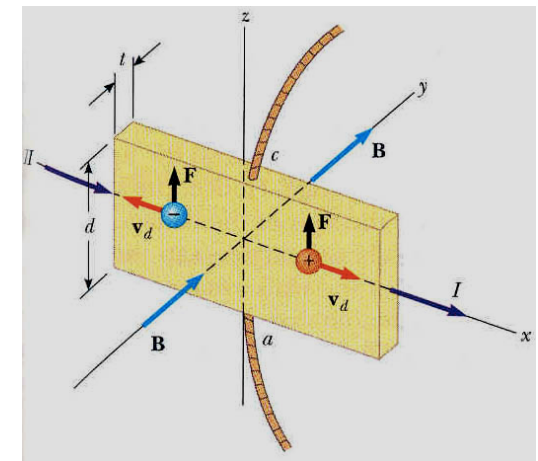
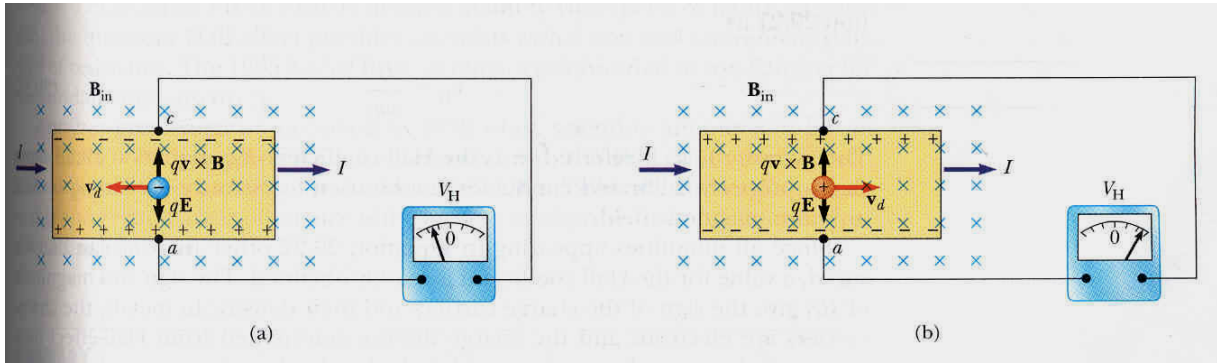
$$r = \frac{mv}{qB}, \quad v = \frac{qBr}{m}$$

$$E_c = \frac{1}{2}mv^2 = \frac{1}{2} \left(\frac{q^2 B^2}{m} \right) r^2$$

El efecto Hall



F II



$$qv_d B = qE_H, E_H = v_d B, V_H = E_H d = v_d B d$$

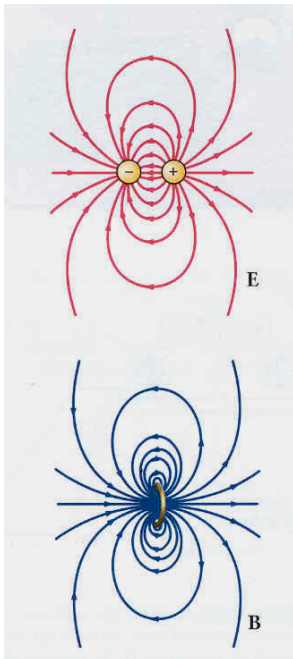
$$v_d = \frac{I}{nqA}, V_H = \frac{IBd}{nqA} = \frac{IB}{nqt}$$



Dipolo magnético

F II

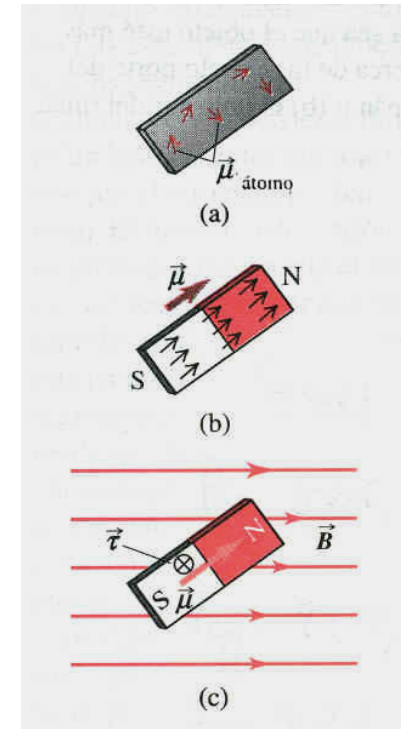
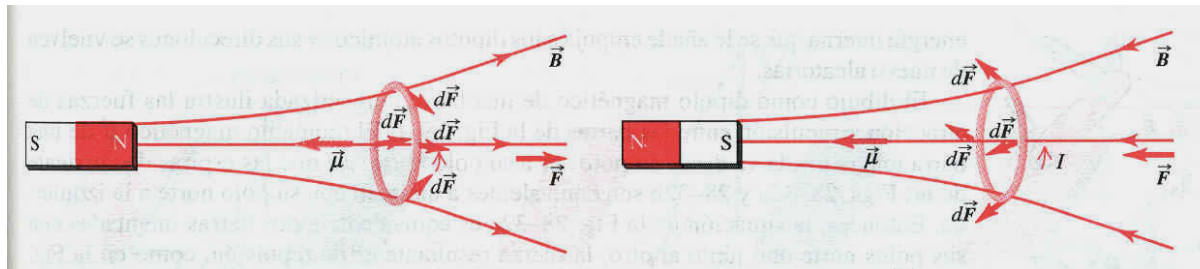
Momento dipolar magnético \mathbf{m}



Si en espira $R \ll x$

$$B \cong \frac{\mu_0}{4\pi} \frac{2I\pi R^2}{|x^3|} = \frac{\mu_0}{4\pi} \frac{2m}{|x^3|}, \quad m = \pi R^2 I$$

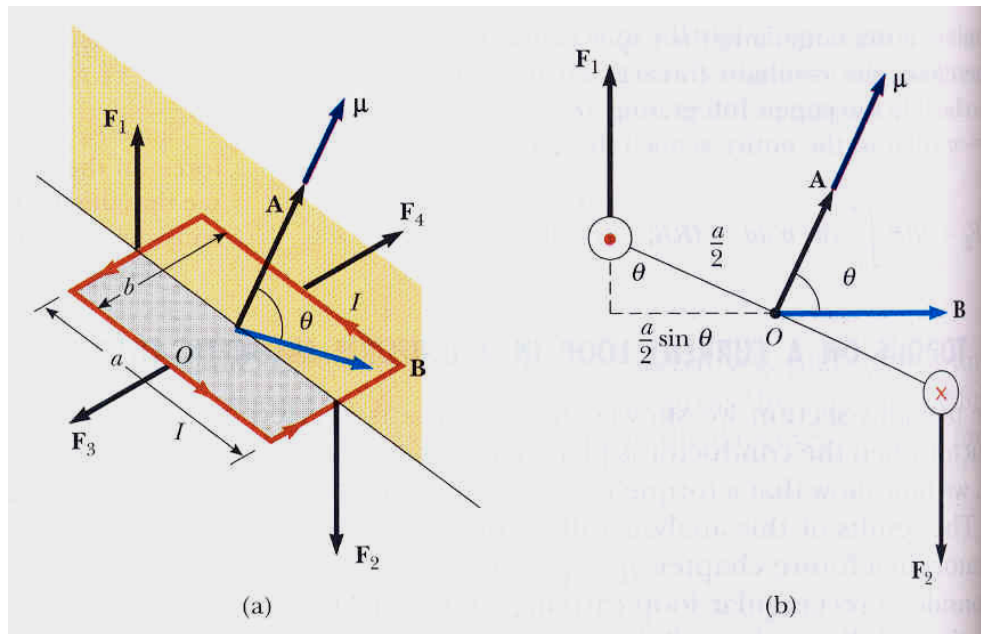
$$\Gamma = \mathbf{m} \times \mathbf{B}, \quad U = -\mathbf{m} \cdot \mathbf{B}$$





Par sobre una espira

F II



$$\begin{aligned}\tau &= F_1 \frac{a}{2} \sin \theta + F_2 \frac{a}{2} \sin \theta = \\ IbB \left(\frac{a}{2} \sin \theta \right) + IbB \left(\frac{a}{2} \sin \theta \right) = \\ IabB \sin \theta &= IAB \sin \theta\end{aligned}$$

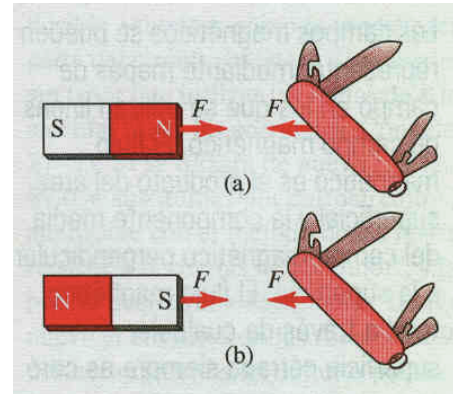
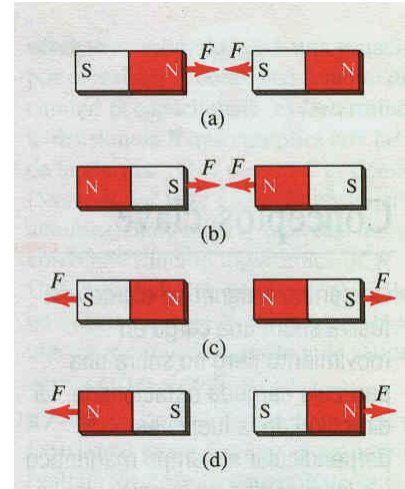
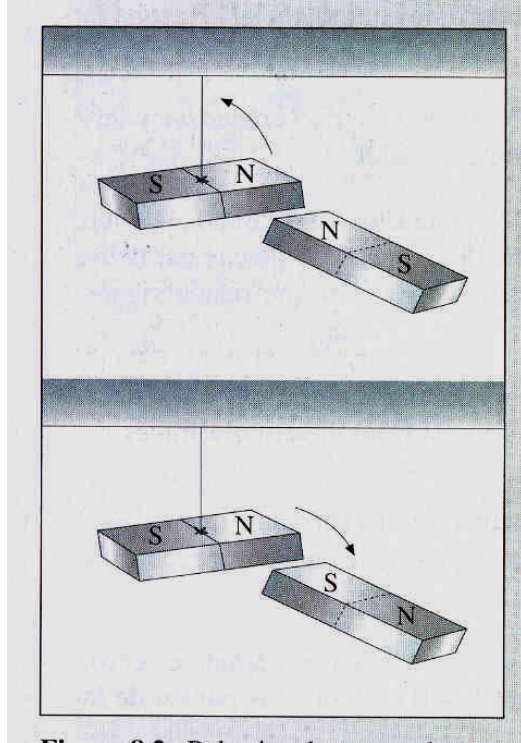
Momento dipolar magnético

$$\boldsymbol{\tau} = IA \times \mathbf{B}, \mathbf{m} = IA, \boldsymbol{\tau} = \mathbf{m} \times \mathbf{B}$$



Experiencias con imanes

F II





Medios magnéticos I

Modelo atómico

F II

Orbital

$$I = \frac{e}{T} = \frac{ev}{2\pi r}, m = \frac{ev}{2\pi r} (\pi r^2) = \frac{e}{2m_e} L, L = m_e v r$$

$$m = \frac{e}{2m_e} L, L = 0, \hbar, 2\hbar, \dots$$

Espín

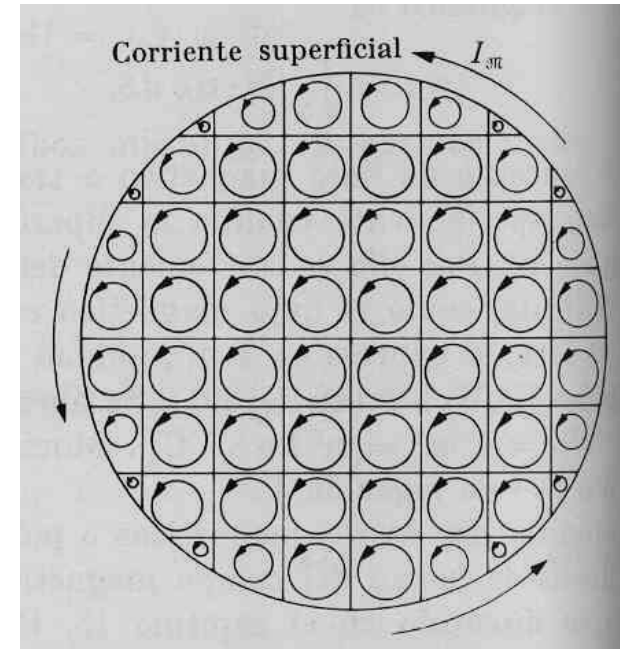
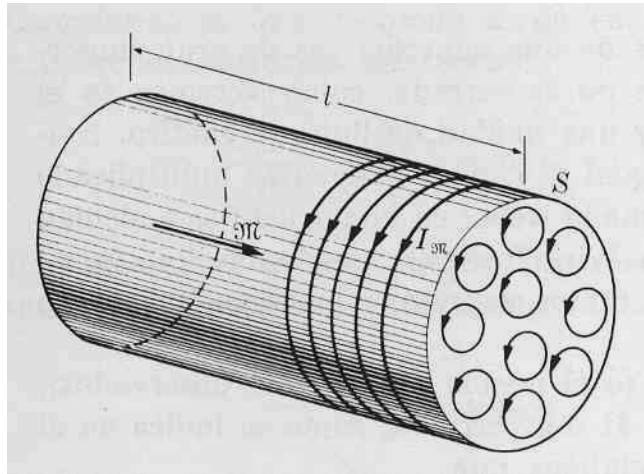
$$S = \frac{\hbar}{2}, m = \mu_B = \frac{e}{2m_e} \hbar = \text{magnetón de Bohr}$$



Medios magnéticos II

Tratamiento macroscópico. Vector imanación
F II

$$\mathbf{M} = \frac{d\mathbf{m}}{dv} \quad M\pi a^2 = K\pi a^2, K = M, \mathbf{K} = \mathbf{M} \times \mathbf{n}$$





Medios magnéticos III

F II

Relación constitutiva. Susceptibilidad y permeabilidad magnética

$$B = \mu_0(nI + K) = \mu_0(nI + M), \frac{B}{\mu_0} - M = nI = H$$

$$\mathbf{M} = \chi_m \mathbf{H}, \mathbf{B} = \mu_0(\mathbf{H} + \mathbf{M}) = \mu_0(1 + \chi_m)\mathbf{H} = \mu\mathbf{H}$$
$$\mu = \mu_0(1 + \chi_m), \mu_r = 1 + \chi_m$$



Medios magnéticos IV

F II

Diamagnetismo

$$\chi_m < 0, \mu_r < 1$$

Paramagnetismo

$$\chi_m > 0, \mu_r > 1$$

Ferromagnetismo

Ciclo de histéresis

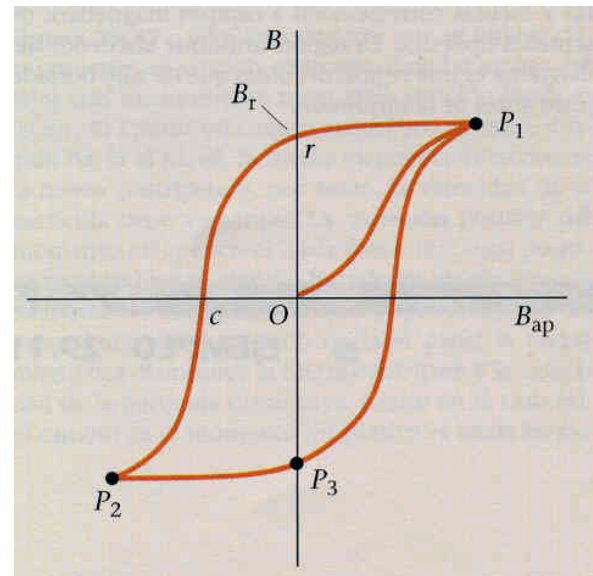
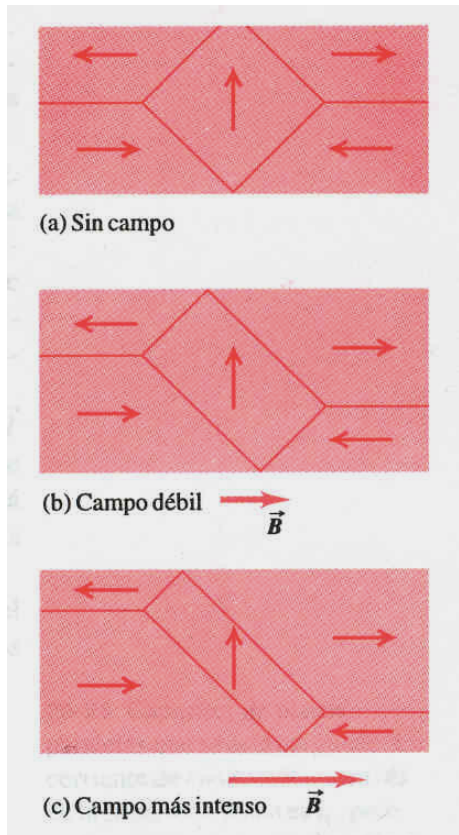


Medios magnéticos V

F II

Ferromagnetismo

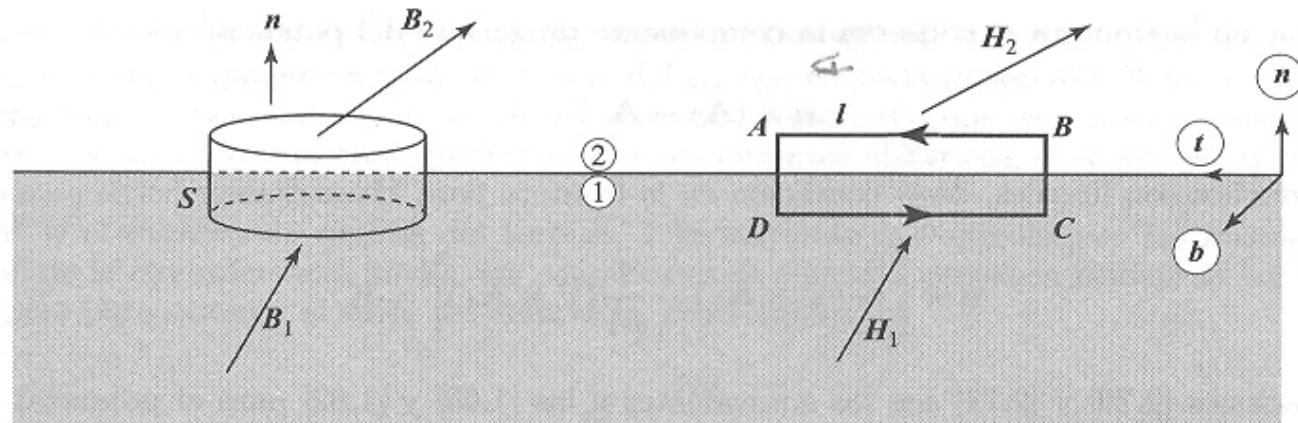
$$\mu = f(B)$$





Condiciones Frontera

F II



$$\mathbf{n} \cdot (\mathbf{B}_2 - \mathbf{B}_1) = 0,$$
$$\mathbf{t} \cdot (\mathbf{H}_2 - \mathbf{H}_1) = 0$$